

เอกสารอ้างอิง

1. บุญหมาย อินทฤติ " แร่ยูเรเนียม " เอกสารเศรษฐธรณีวิทยา เล่มที่ 16
กรมทรัพยากรธรณี , 2520.
2. Harrington , C.D., and Ruehle , A.E. Uranium Production
Technology , Van Nostrand Co., Princeton ,
New York , 1959.
3. William , S. Kirk Depleted Uranium , Mineral Facts and
Problems, pp 997 - 998 , 1980.
4. Benedict , M., et al. Nuclear chemical Engineering , 2 nd. ed.,
Mc Graw - Hill Book Co., New York , 1981.
5. ชยากริต ศิริอุปลักษณ์ และคณะ Chemistry in Nuclear Technology
เอกสารประกอบการสอนวิชา 172 - 625 ภาคศึกษานิวเคลียร์เทคโนโลยี
คณะวิศวกรรมศาสตร์ จุฬาลงกรณ์มหาวิทยาลัย , 2526.
6. Cordfunke , E.H.P. The Chemistry of Uranium , Amsterdam ,
Elsevier Publishing Co., 1969.
7. Grindler , J.E. " The Radiochemistry of Uranium " National
Research council USAEC , National Academy of Sciences ,
1962.
8. ทวี ศิริอุตมรัตน์ " กระบวนการผลิตเค้กเหลืองจากแร่โมนาไซด์ ในประเทศไทย
ด้วยวิธีไฮดรัด " วิทยานิพนธ์ปริญญาโทมหาบัณฑิต ภาคศึกษานิวเคลียร์เทคโนโลยี
บัณฑิตวิทยาลัย จุฬาลงกรณ์มหาวิทยาลัย 2527.
9. Handbook of Chemistry and Physics (Robert C. Weast) Chemical
Rubber Co., 1973.

10. Runnalls , O.J.C. Uranium dioxide fuel elements , Nuclear fuel elements (Hausner , H. Henry) pp 228 -237 , Reinhold Publishing Corporation, New York , 1959.
11. Sigfred Peterson and et al. Chemistry in Nuclear technology p 133 , Addison - Wesley Publishing Co., U.S.A., 1963.
12. Weidinger , H. , Assmann , H. and et al. " Fuel Rod Fabrication and Engineered quality assurance under the requirements of KWU design " Proc. Intern. Symp. on Fabrication of Water Reactor Fuel elements , prague , 1978 , paper IAEA-SM-233/17
13. Assmann , H. , Dour , W. and Pechs , M. " Oxide Fuels with Controlled Microstructure " Kraftwerk Union AG , D-8520 Erlangen , Federal Republic of Germany , 1983.
14. Stehle , H. , Assmann , H. and Maier , G. " Review of UO₂ Powder and Pellet Fabrication Under the Aspects of In - Reactor Fuel Behaviour " IAEA / CNEA International Seminar on Heavy Water Reactor Fuel Technology , San Carlos de Bariloche , Argentina , June 27 to July 1 , 1983.
15. Assmann , H. and Stehle , H. " Oxide fuel for Light Water Reactors a standardized industrial product " Proc. 4 th Intern. Meeting on Modern Ceramics technologies , Saint Vincent , Italy , May 28 - 31 , 1979.
16. Glasstone , S. and Sesonske , A. Nuclear Reactor Engineering , D. Van Nostrand Co. Inc. , 1967.

17. Assmann , H. and Mathieu , V. " Technology and in - reactor performance of UO_2 fuel from the AUC powder process " presented at 78th Annual Meeting of the American Ceramic Society , Cincinnati , May 5, 1976 , paper AED-Conf-76-194-007.
18. William Roger De Hollander and et al. " Conversion of Uranium Hexafluoride to Uranium dioxide structure of controlled density and grain size " U.S. patent 3, 786, 120 Oct. 2, 1970.
19. Jones F. Hart and et al. " Production of Uranium Dioxide " U.S. patent 4, 053, 559 June 14, 1976.
20. Janov , J. and et al. " Pilot plant development of process for the production of ammonium diuranate. " ISBN 0 642 99669 5 , Australian Atomic Energy Commission , 1975.
21. Jamrack , W.D. " Rare metal extraction by chemical engineering techniques " p 204 , the macmillian Co. , New York , 1963.
22. Vietzke , H. and et al. " Method of preparing Uranium dioxide powder " Canadian Patent 933336 , Sep. 11, 1973.
23. Williams , G.P.L. " Nuclear fuel in Canada " Atomic Energy of Canada Ltd., 1951.
24. Yi - Ming Pan. " The conversion of UO_2 via Ammonium Uranyl Carbonate " Nuclear materials 99(1981) : 135 - 147.
25. Mathieu , V. " UO_2 fuel fabrication by means of the AUC powder process " Transactions of the American Nuclear Society 28(1978) : 327 - 328

26. Assmann , H. and Becker , M. " Technology of UO_2 fuel fabrication by the AUC powder process " Trans. Am. Nucl. Soc. 31(1979) : 147 - 148
27. Brandau , E. and Doerr , W. " Characteristics of UO_2 powder and pellets for LWR fuel " Trans. Am. Nucl. Soc. 31(1979) : 148 - 150
28. Brachmann , H.G. and Seibold , K. " X - Ray powder diffraction and some thermodynamic data for $(NH_4)_4 [UO_2(CO_3)_3]$ " Inorganic Nuclear Chemistry. 37(1975) : 735 - 737
29. Dorr , W. and Assmann , H. " Sintering of UO_2 at low temperatures " Proc. 4th Intern. Meeting on Modern Ceramics Technologies , Saint Vincent , Italy , May 28 - 31 , 1979.

ศูนย์วิทยทรัพยากร
จุฬาลงกรณ์มหาวิทยาลัย

ภาคผนวก ก

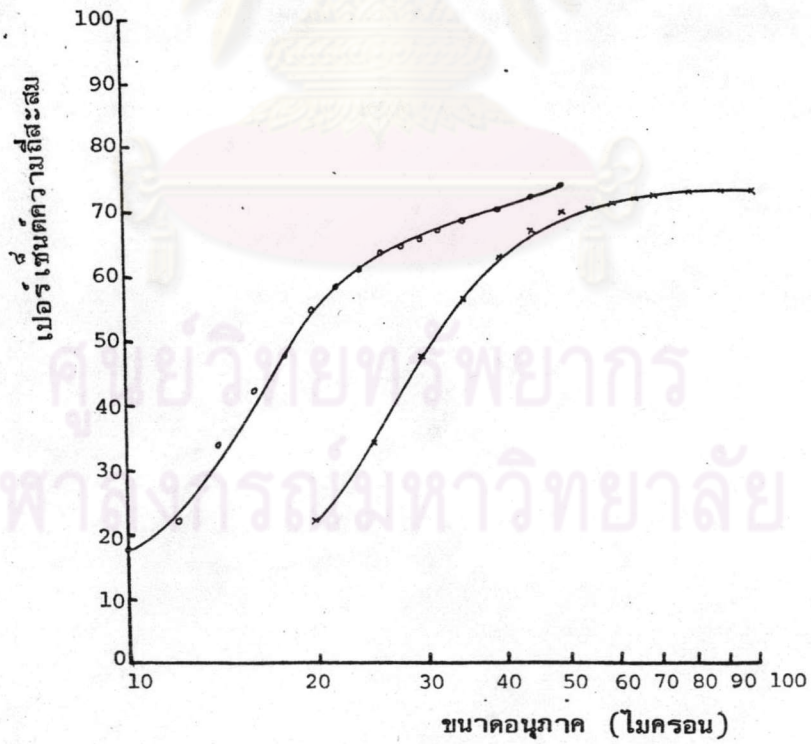
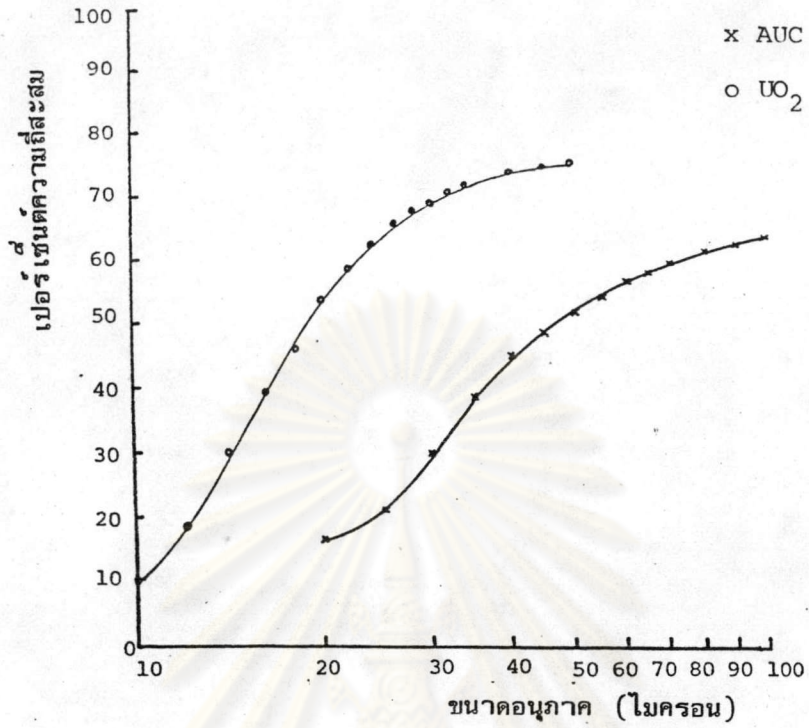
ผลการทดลองหาการกระจายขนาดอนุภาคของแอมโมเนียม ยูเรนิล คาร์บอเนต
และยูเรเนียม ไดออกไซด์

ตารางที่ 1 แสดงการกระจายขนาดอนุภาคของแอมโมเนียม ยูเรนิล คาร์บอเนต

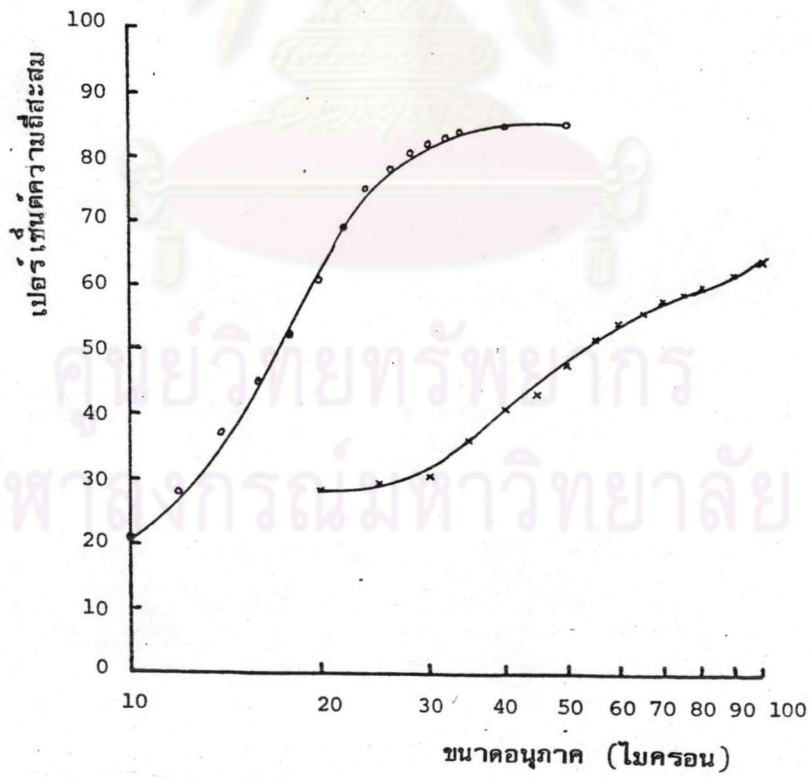
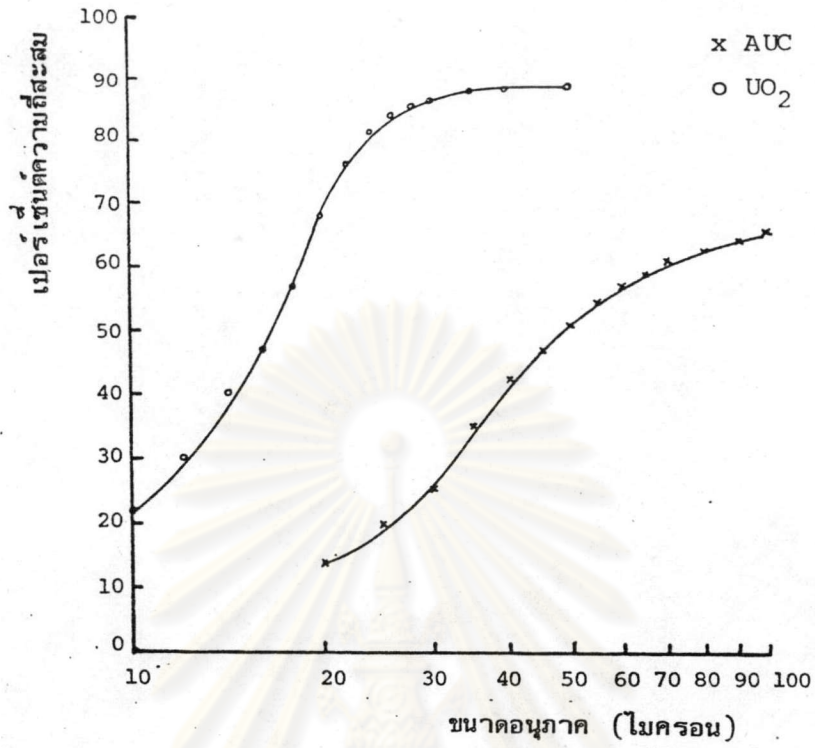
ตัวอย่างที่	เปอร์เซ็นต์อนุภาค						
	ขนาดอนุภาค (ไมครอน)						
	< 20	20-30	30-40	40-50	50-70	70-100	> 100
1	16	14	14	8	8	4	36
2	22	25	16	6	3	2	26
3	14	13	15	9	10	5	34
4	28	3	9	8	10	6	36
5	16	26	19	9	5	4	21
6	24	20	18	9	5	4	20
7	16	27	21	10	5	2	19
8	15	30	21	7	4	2	21
9	19	17	24	8	5	4	23
10	22	16	20	9	7	6	20
11	34	13	10	6	9	7	21
12	14	15	13	10	13	8	27
13	29	19	17	7	5	3	20
14	13	25	24	12	6	2	18
15	21	14	9	6	6	5	39
16	18	16	14	8	8	6	30
17	15	11	14	11	9	3	37
18	14	14	17	7	6	4	38

ตารางที่ 2 แสดงการกระจายขนาดอนุภาคของผงยูเรเนียม ไดออกไซด์

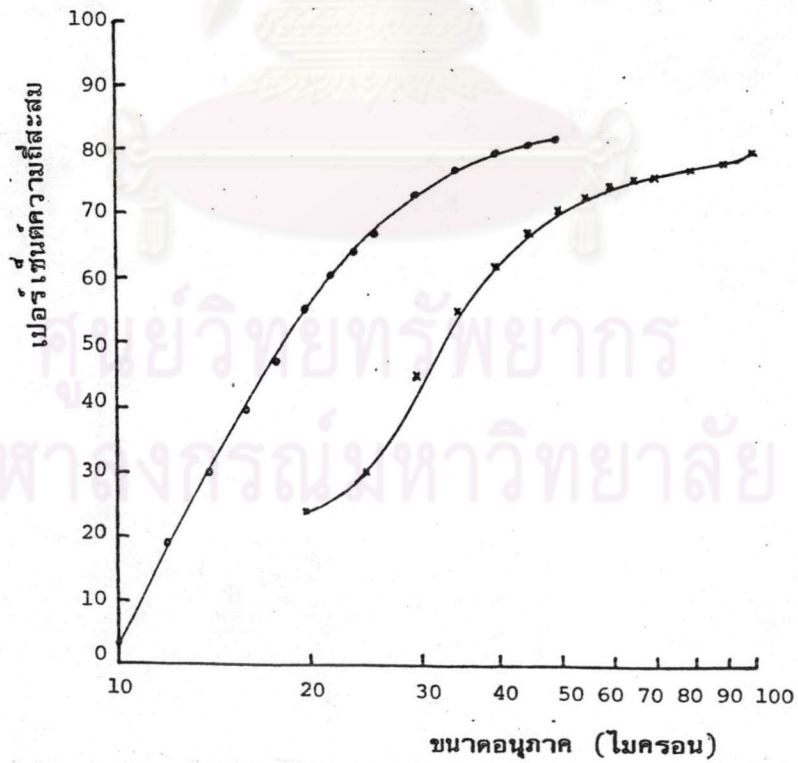
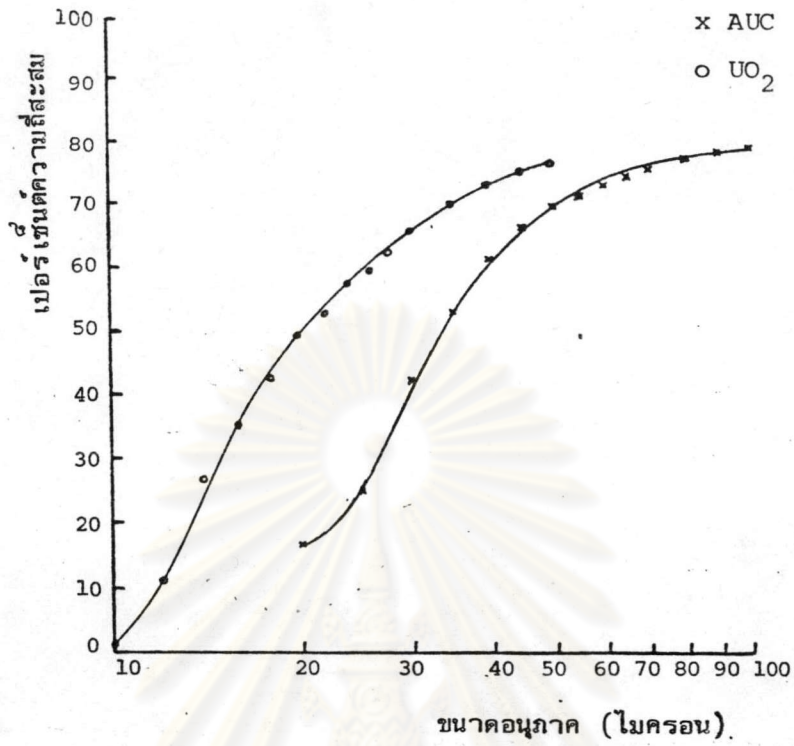
เปอร์เซ็นต์ อนุภาค	ขนาดอนุภาค (ไมครอน)					
	< 10	10-14	14-20	20-30	30-50	> 50
ตัวอย่างที่						
1	10	20	24	15	7	24
2	18	16	21	10	9	26
3	22	18	28	18	3	11
4	21	16	24	21	3	15
5	1	26	22	16	11	24
6	3	27	25	18	9	18
7	18	16	21	10	9	26
8	22	19	22	12	6	19
9	16	13	28	10	7	26
10	16	10	12	10	20	32
11	17	5	8	20	14	36
12	15	17	18	10	12	28
13	12	12	24	14	11	27
14	15	9	20	26	10	20
15	20	13	15	9	4	39
16	16	14	17	13	7	33
17	10	14	19	23	10	24
18	14	16	20	11	5	34



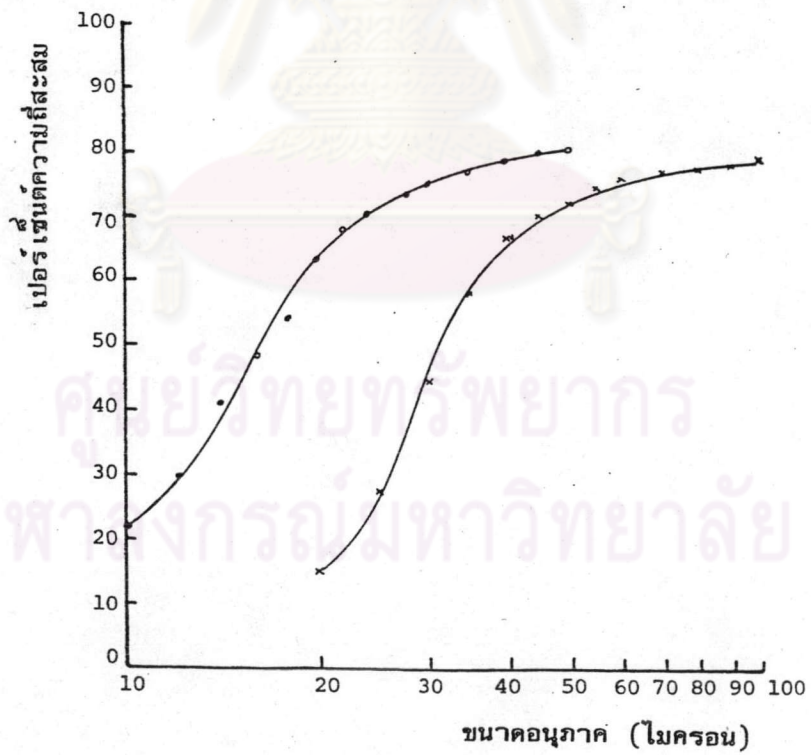
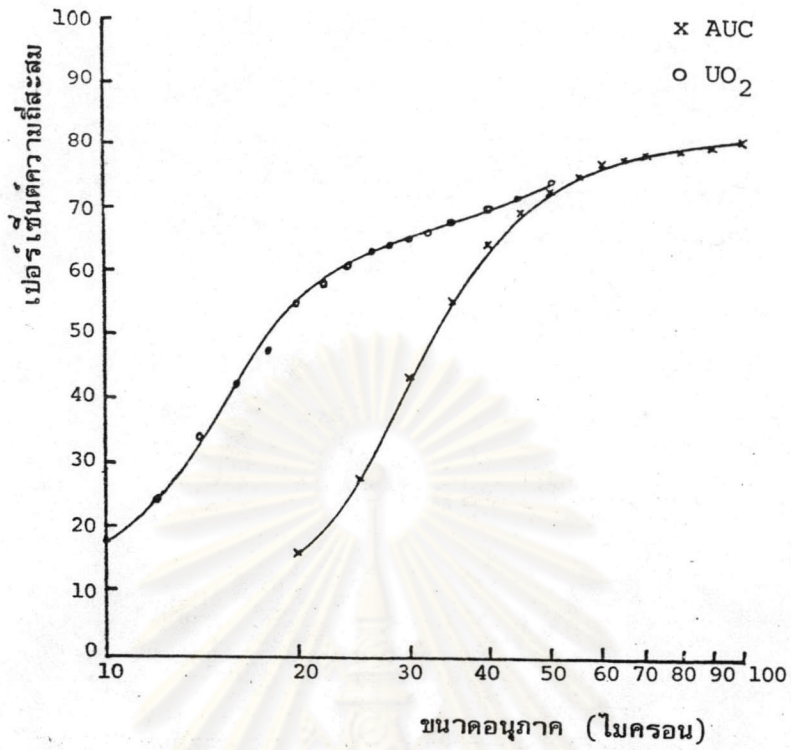
รูปที่ 1 กราฟแสดงการกระจายขนาดอนุภาคของแอมโมเนียม ยูเรนิล คาร์บอเนต และยูเรเนียม-ไดออกไซด์ ตัวอย่างที่ 1 (บน) และตัวอย่างที่ 2 (ล่าง)



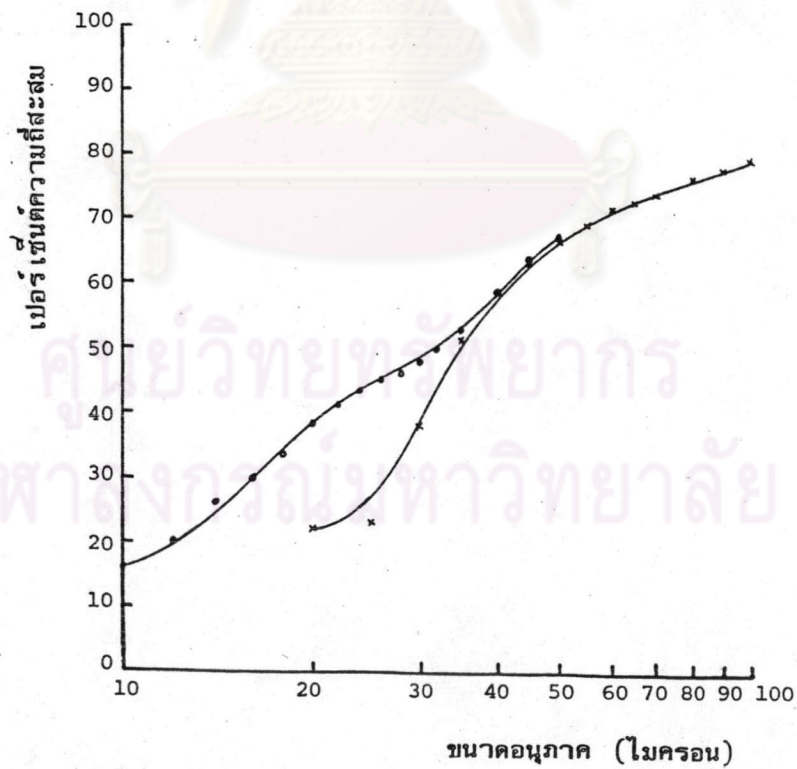
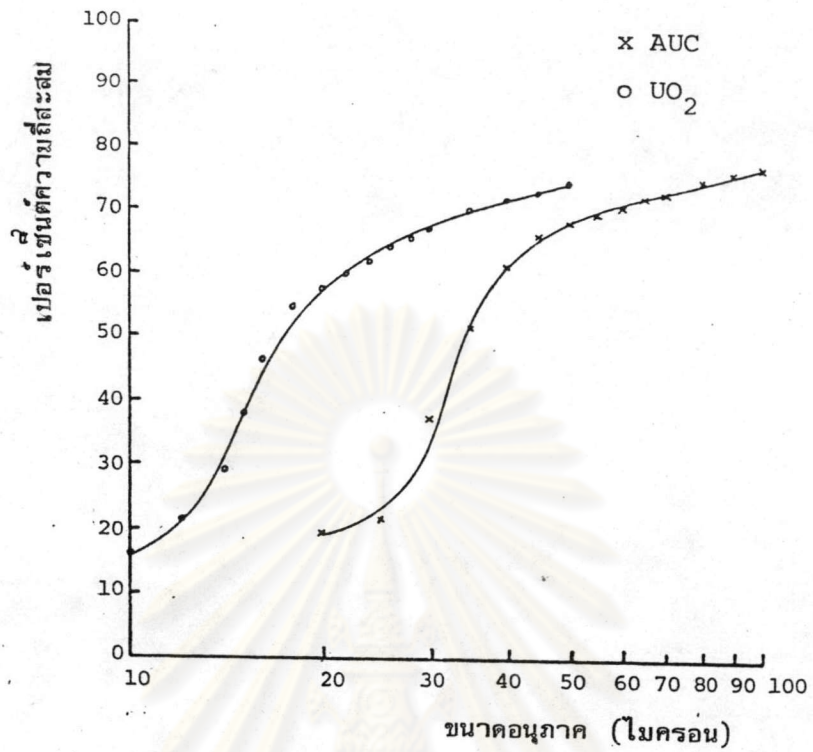
รูปที่ 2 กราฟแสดงการกระจายขนาดอนุภาคของแอมโมเนียม ยูเรนิล คาร์บอเนต และยูเรเนียม ไดออกไซด์ ตัวอย่างที่ 3 (บน) ตัวอย่างที่ 4 (ล่าง)



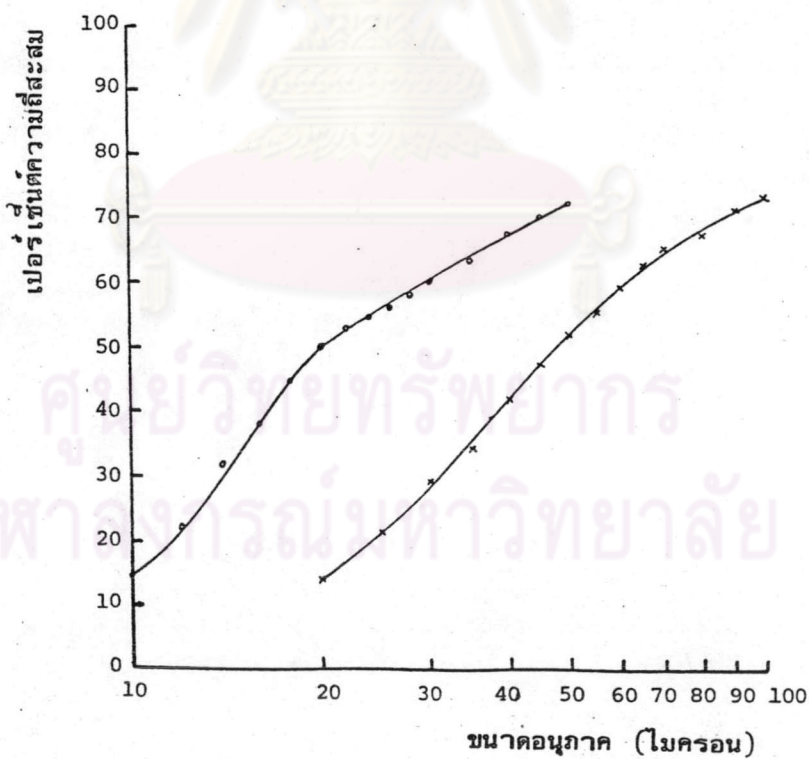
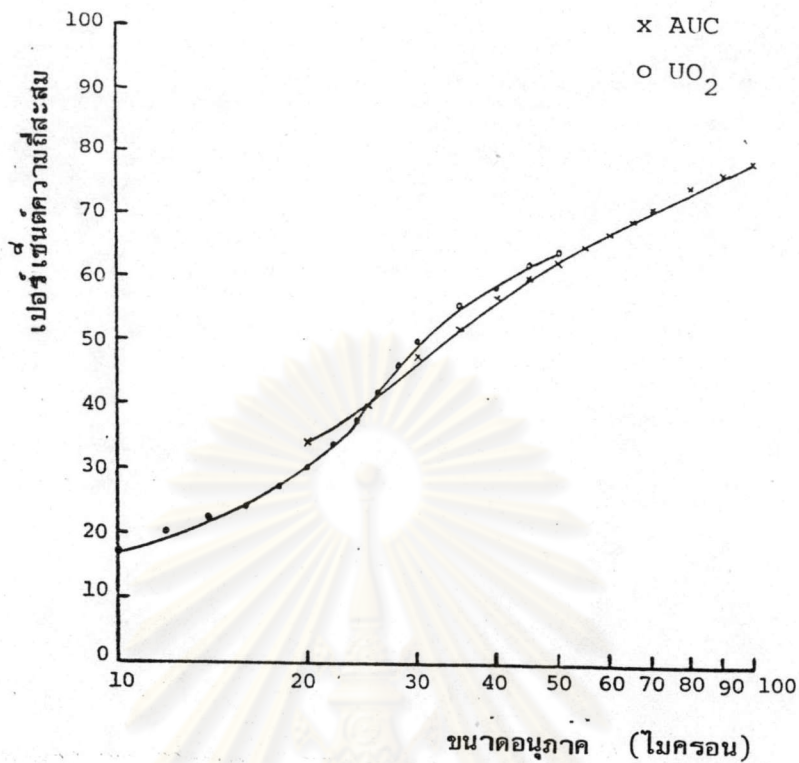
รูปที่ 3 กราฟแสดงการกระจายขนาดอนุภาคของแอมโมเนียม ยูเรนิล คาร์บอเนต และยูเรเนียม ไดออกไซด์ ตัวอย่างที่ 5 (บน) และตัวอย่างที่ 6 (ล่าง)



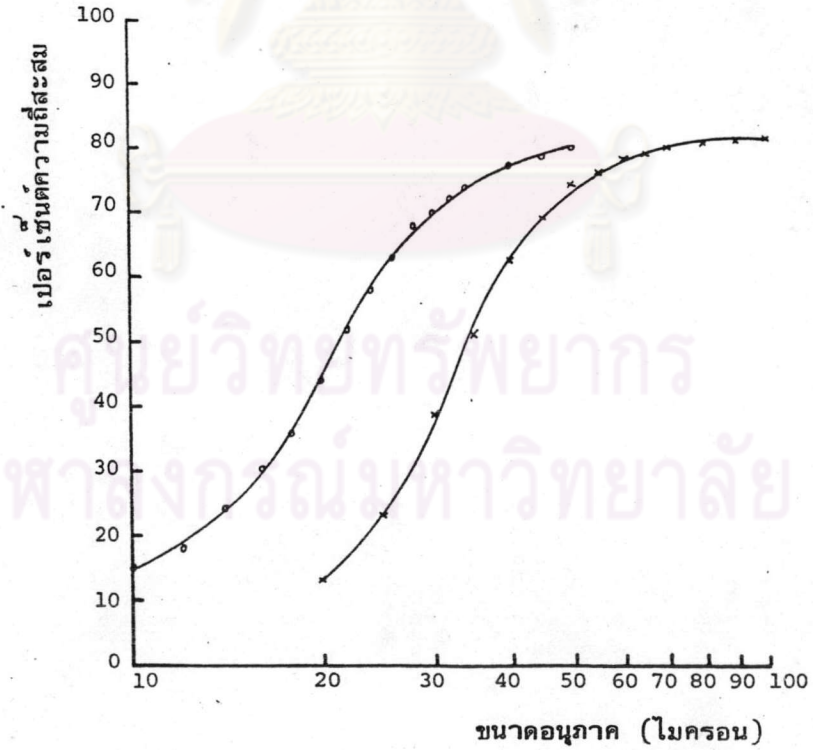
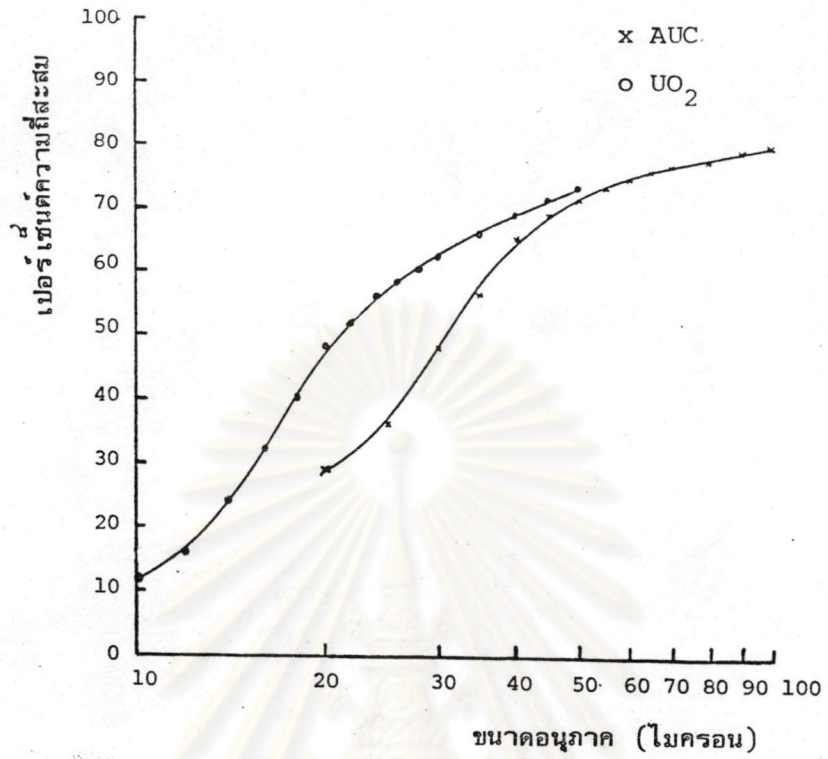
รูปที่ 4 กราฟแสดงการกระจายขนาดอนุภาคของแอมโมเนียม ยูเรนิล คาร์บอเนต และยูเรเนียม ไดออกไซด์ ตัวอย่างที่ 7 (บน) และตัวอย่างที่ 8 (ล่าง)



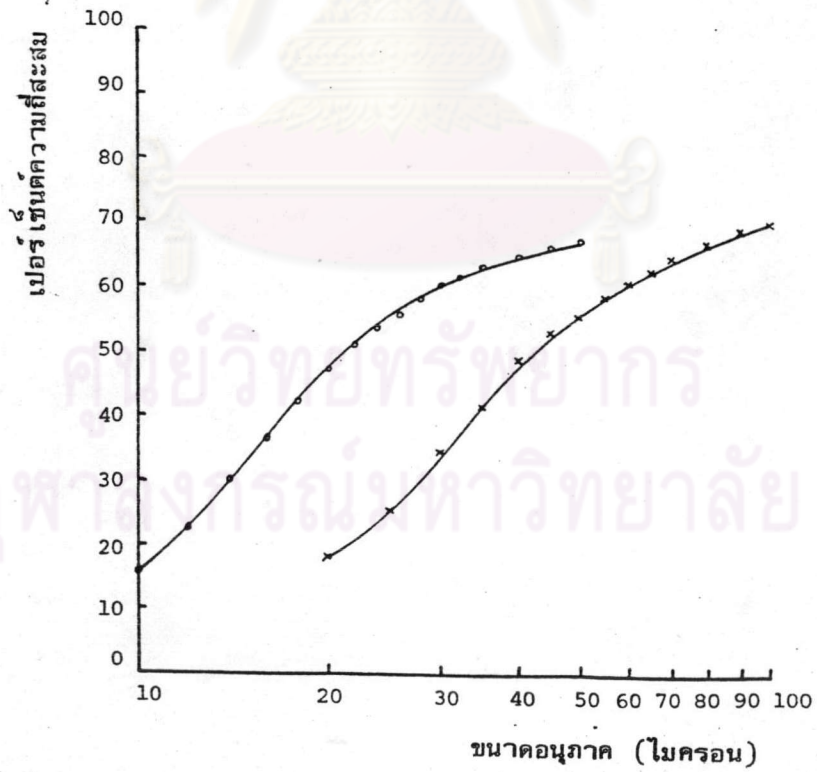
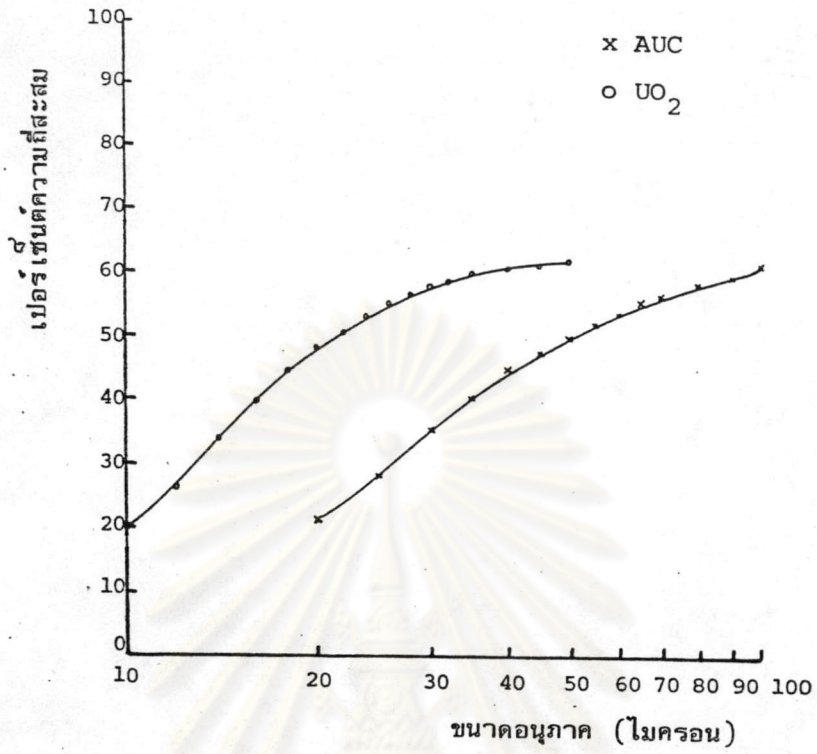
รูปที่ 5 กราฟแสดงการกระจายขนาดอนุภาคของแอมโมเนียม ยูเรนิล คาร์บอเนต และยูเรเนียม ไดออกไซด์ ตัวอย่างที่ 9 (บน) และตัวอย่างที่ 10 (ล่าง)



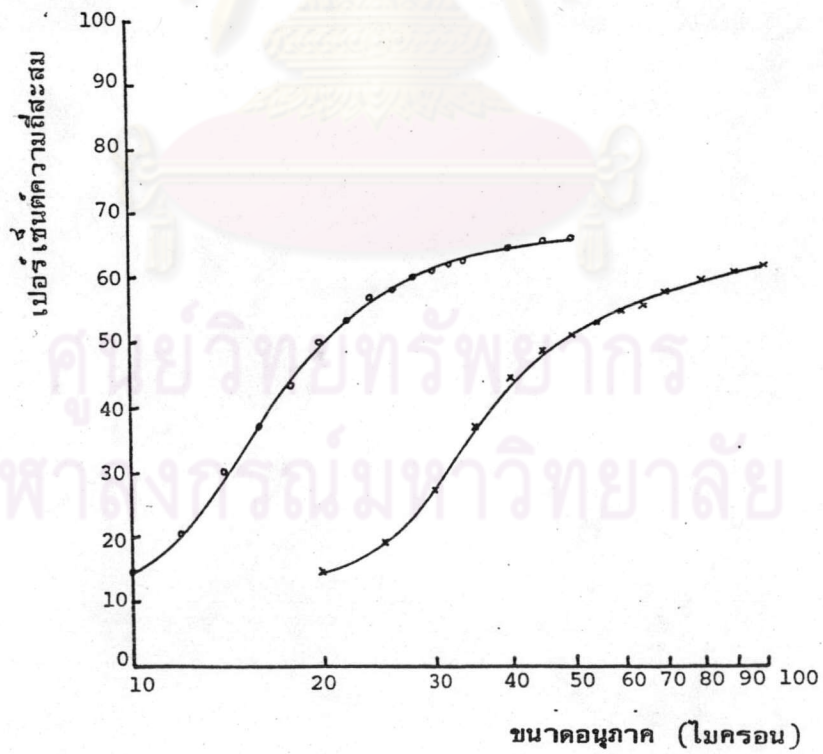
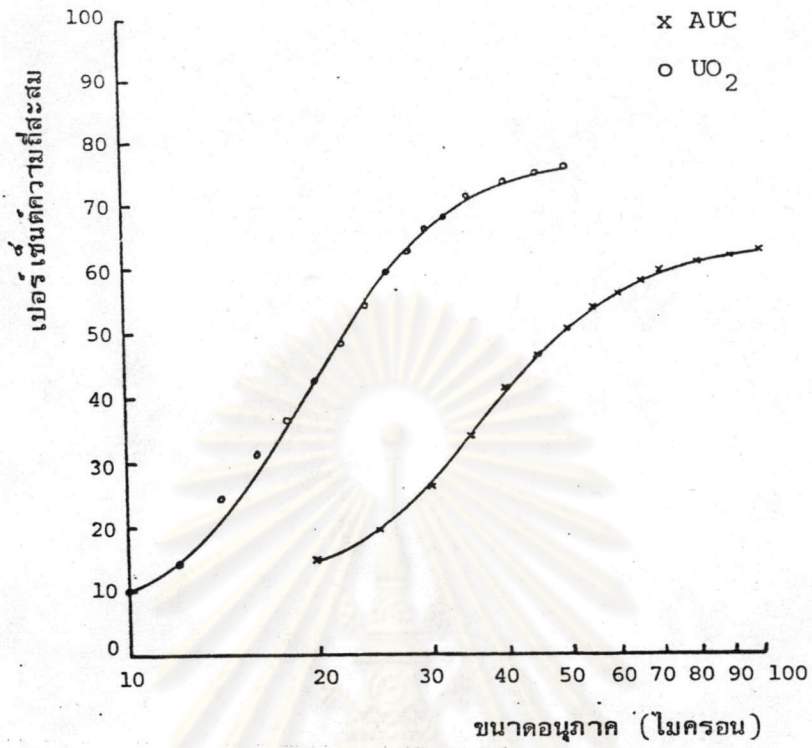
รูปที่ 6 กราฟแสดงการกระจายขนาดอนุภาคของแอมโมเนียม ยูเรนิล คาร์บอนเนต และยูเรเนียม ไดออกไซด์ ตัวอย่างที่ 11 (บน) และตัวอย่างที่ 12 (ล่าง)



รูปที่ 7 กราฟแสดงการกระจายขนาดอนุภาคของแอมโมเนียม ยูเรนิล คาร์บอเนต และยูเรเนียม ไดออกไซด์ ตัวอย่างที่ 13 (บน) และตัวอย่างที่ 14 (ล่าง)



รูปที่ 8 กราฟแสดงการกระจายขนาดอนุภาคของแอมโมเนียม ยูเรนิล คาร์บอเนต และยูเรเนียม ไดออกไซด์ ตัวอย่างที่ 15 (บน) และตัวอย่างที่ 16 (ล่าง)



รูปที่ 9 กราฟแสดงการกระจายขนาดอนุภาคของแอมโมเนียม ยูเรนิล คาร์บอเนต และยูเรเนียม ไดออกไซด์ ตัวอย่างที่ 17 (บน) และตัวอย่างที่ 18 (ล่าง)

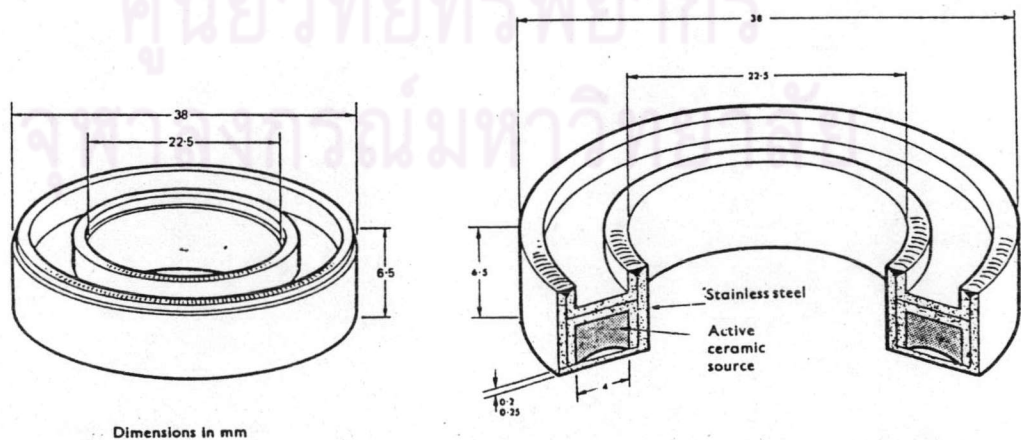
ภาคผนวก ข

วิธีการวิเคราะห์ที่ใช้ในการวิจัย

1. การวิเคราะห์หาปริมาณเรเนียม

การวิเคราะห์หาปริมาณเรเนียม ใช้วิธีการเรืองรังสีเอกซ์โดยใช้หัววัดรังสีแบบเจอร์เมเนียม-ลิเทียม หลักการของวิธีเรืองรังสีเอกซ์ คือ ทำให้อิเล็กตรอนในวงโคจรชั้นในเกิดการไอออไนซ์ (Ionization) หลุดออกจากอะตอม โดยการยิงรังสีปฐมภูมิเข้าไป เมื่ออิเล็กตรอนในวงโคจรชั้นในหลุดไปจะเกิดที่ว่างขึ้น อิเล็กตรอนจากวงโคจรนอก ซึ่งมีระดับพลังงานสูงกว่า จะเข้าไปแทนที่ว่าง แล้วปล่อยพลังงานออกมาในรูปคลื่นแม่เหล็กไฟฟ้า เรียกว่ารังสีเอกซ์เรือง (Fluorescent X-Ray) และเรียกกระบวนการเกิดรังสีเอกซ์เรืองว่าการเรืองรังสีเอกซ์ (X-Ray fluorescence) เนื่องจากพลังงานของรังสีเอกซ์เรืองมีค่าเฉพาะสำหรับธาตุแล้ว แต่ละชนิดจึงมีชื่อเรียกรังสีเอกซ์เรืองอีกชื่อว่า รังสีเอกซ์เฉพาะตัว (Characteristic X-Ray) การวิเคราะห์คุณภาพและปริมาณของธาตุอาศัยการวัดพลังงานและความเข้มของรังสีเอกซ์เรือง

ต้นกำเนิดรังสีที่ใช้ในการวิเคราะห์ปริมาณเรเนียม คือ แคดเมียม - 109 ความแรงรังสี 5 มิลลิวูรี่ ซึ่งเป็นชนิดวงแหวน โดยมีสารกัมมันตรังสีวางอยู่ด้านหนึ่งของวงแหวน ดังแสดงในรูป 10

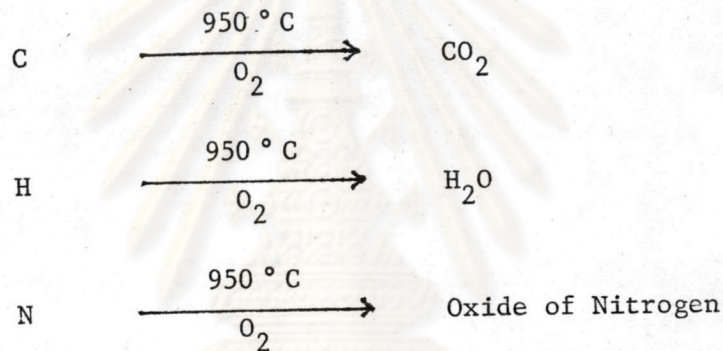


รูปที่ 10 ลักษณะต้นกำเนิดรังสีชนิดไอโซโทปรังสี

วิธีวิเคราะห์คือ สร้างกราฟเทียบปรียบ (Calibration curve) โดยสร้าง ความสัมพันธ์ของความเข้มรังสีเอกซ์ซึ่งก็คือ ค่าจำนวนนับต่อหน่วยเวลา กับความเข้มข้น ของ ยูเรเนียม การเตรียมตัวอย่างและสารมาตรฐานจะใช้กรดบอริก (Boric acid powder) เป็นตัวประสานอัดเป็นแผ่นกลม โดยใช้วงแหวนอลูมิเนียมอัดด้วยความดัน 2000 ปอนด์ต่อตารางนิ้ว วิเคราะห์ความเข้มรังสี K X-Ray ที่พลังงาน 12.9 - 14.2 KeV

2. การวิเคราะห์ปริมาณคาร์บอน ไฮโดรเจน และไนโตรเจน

หาปริมาณของคาร์บอน ไฮโดรเจน และไนโตรเจน โดยใช้เครื่องวิเคราะห์ธาตุ (Elemental analyzer) หลักการคือ เผาไหม้สารตัวอย่างในบรรยากาศของออกซิเจนบริสุทธิ์ ที่อุณหภูมิ 950 องศาเซลเซียส ดังแสดงในสมการ คือ



ผลที่ได้คือ คาร์บอน ไดออกไซด์ น้ำ และออกไซด์ของไนโตรเจน จะใช้ลิเทียม ไฮดรอกไซด์ ดูดซับคาร์บอน ไดออกไซด์ และแมกนีเซียม เปอคลอเรต ดูดซับน้ำ วัดหา ปริมาณด้วย thermal conductivity detector ส่วนออกไซด์ของไนโตรเจน ใช้ท่อที่บรรจุ ด้วยทองแดง เพื่อรีดิวซ์เป็นไนโตรเจนและเข้าเครื่องวัดโดยตรง

การวิเคราะห์จะต้องทำ Blank Run ก่อน เพื่อหักลบค่า Blank ออกจากสัญญาณ ของตัวอย่าง จากนั้นทำการเทียบกับสารมาตรฐาน

3. การหาขนาดอนุภาค (Particle size)

การหาขนาดอนุภาคด้วยเครื่องเซดติเม็นเตชัน (Sedimentation analyzer) เป็นการหาการกระจายขนาดของอนุภาค ซึ่งค่าที่ได้จะเป็นช่วง ๆ มีหลักการคือ เมื่ออนุภาคตกลง ในของเหลวซึ่งเป็นตัวกลาง (Medium) เกิดความเร็วขึ้นค่าหนึ่ง ซึ่งแทนด้วยสมการ คือ

$$V = \frac{H}{T} = \frac{2g (\rho_s - \rho_m) r^2}{9\eta}$$

ซึ่ง V คือ ความเร็วของการตก (Sedimentation velocity ; เซนติเมตร / วินาที)

H คือ ความยาวของการตก (เซนติเมตร)

T คือ เวลา (วินาที)

g คือ แรงโน้มถ่วงของโลก (เซนติเมตรต่อวินาทียกกำลังสอง)

ρ_m คือ ความหนาแน่นของของเหลวตัวกลาง (กรัมต่อลูกบาศก์เซนติเมตร)

ρ_s คือ ความหนาแน่นของตัวอย่าง (กรัมต่อลูกบาศก์เซนติเมตร)

η คือ ค่าสัมประสิทธิ์ความหนืดของของเหลวตัวกลาง (กรัมต่อเวลาและวินาที)

r คือ รัศมีของอนุภาค (เซนติเมตร)

วัดขนาดของอนุภาคในรูปความสัมพันธ์ระหว่าง H และ T ดังนี้

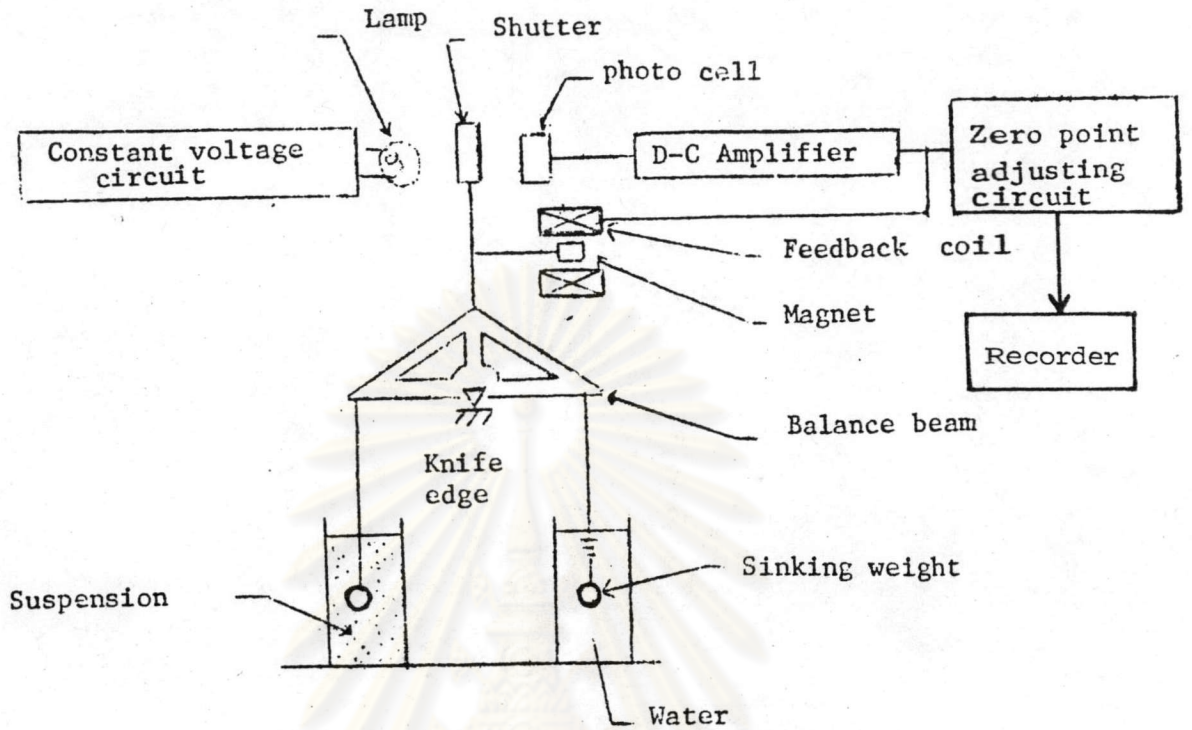
$$r^2 = \frac{9 \eta H}{2g (\rho_s - \rho_m) T}$$

$$\text{หรือ } d^2 = \frac{18 \eta H}{g (\rho_s - \rho_m) T}$$

d คือ ขนาดเส้นผ่าศูนย์กลางของอนุภาค (เซนติเมตร)

การวัดขนาดอนุภาค อาศัยความแตกต่างของความหนาแน่น ในของเหลวตัวกลาง และของเหลวตัวกลางที่มีอนุภาคแขวนลอยอยู่ ระบบการวัดความแตกต่างของความหนาแน่น มีแผนผังดังแสดงในรูปที่ 11





รูปที่ 11 แสดงระบบการวัดความแตกต่างของความหนาแน่น

การหาขนาดอนุภาค คือ บรรจุของเหลวตัวกลางลงในกระบอก (Bottle) ทั้งสองข้างทำการปรับเครื่องที่ศูนย์ก่อน จากนั้น นำตัวอย่างโดยคำนวณน้ำหนักที่ใช้ตั้งสูตร คือ

$$W = \frac{6 \rho_s}{\rho_s - (\rho_m + 0.02)}$$

W คือ น้ำหนักของตัวอย่าง (กรัม)

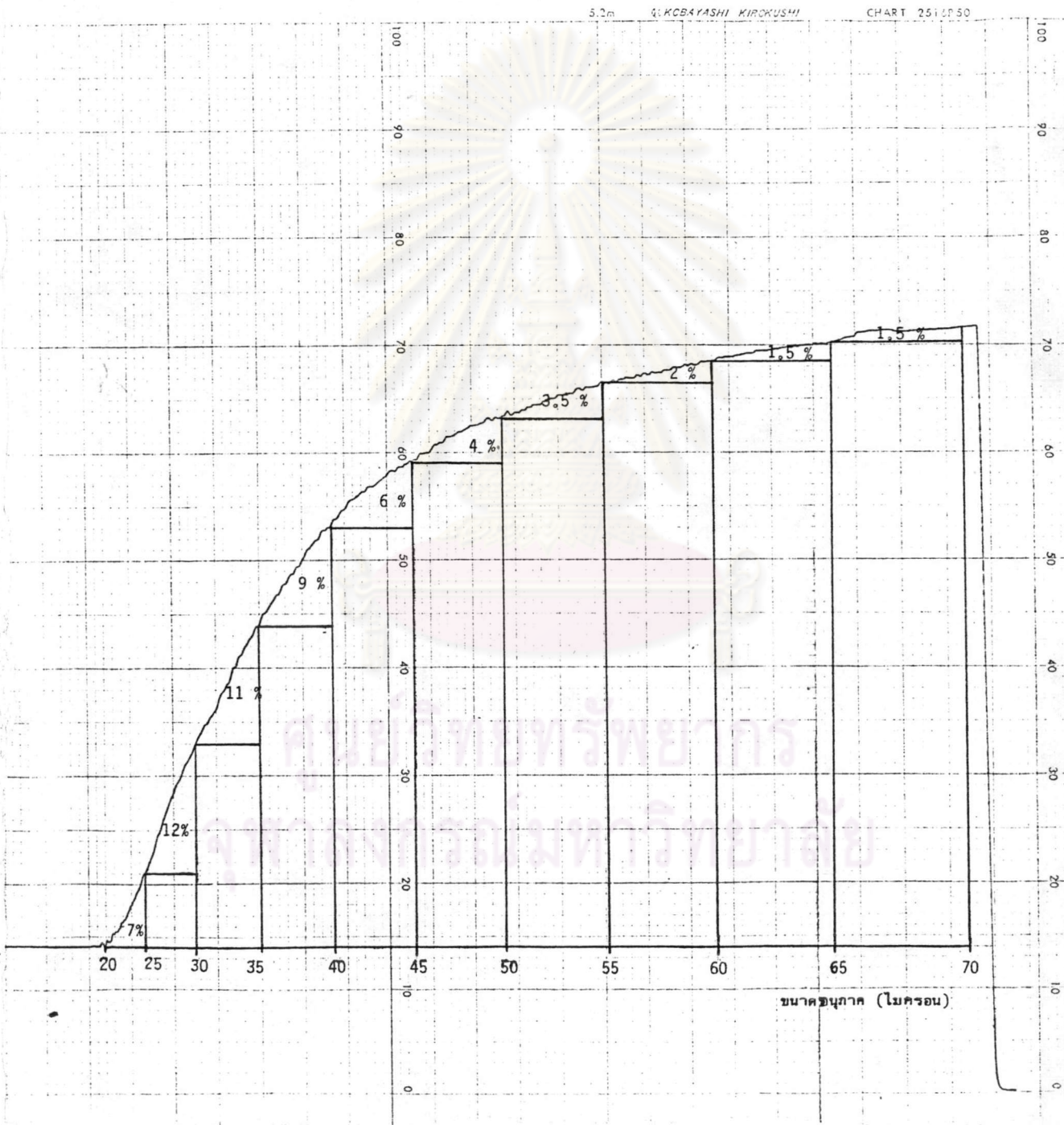
เทตัวอย่างลงในกระบอกด้านซ้าย กวนสารเพื่อให้เกิดการแขวนลอยอย่างสม่ำเสมอ

จับเวลาเมื่อเริ่มปล่อยให้สารตกลงในของเหลวตัวกลางอย่างอิสระ เวลาที่ปล่อยให้ตก มีความ

สัมพันธ์กับขนาดอนุภาคของสารตัวอย่าง คือ

$$T = \frac{18 \eta H}{g (\rho_s - \rho_m) d^2}$$

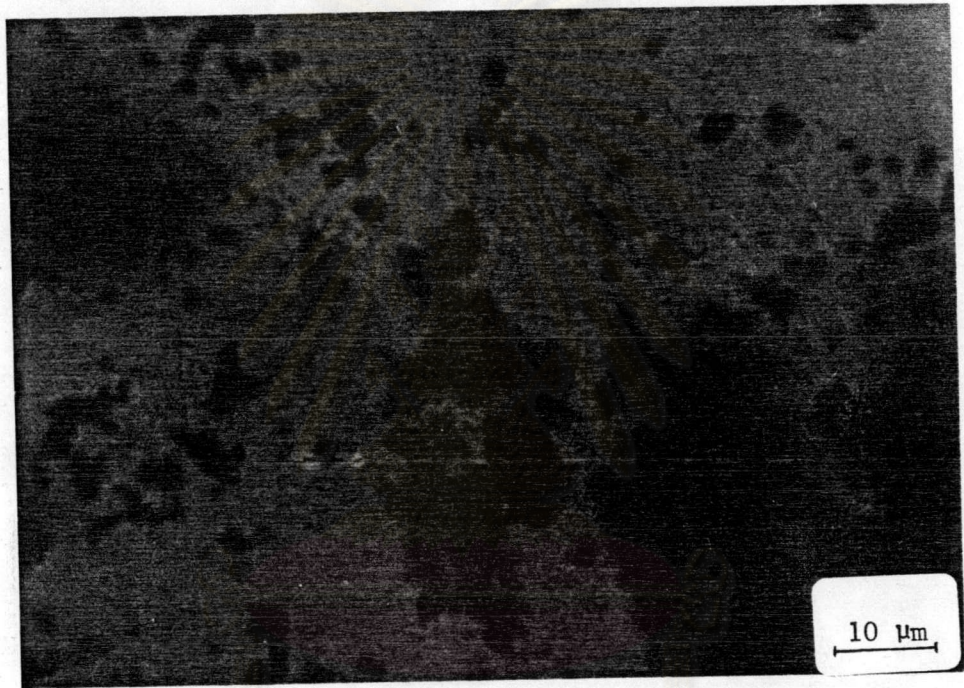
ความแตกต่างของความหนาแน่นระหว่างของเหลวตัวกลาง และสารแขวนลอย จะถูกบันทึกและแสดงออกมาในรูปของกราฟ ซึ่งแกนตั้งเป็นเปอร์เซ็นต์ความถี่สะสม แกนนอนเป็นขนาดอนุภาคในหน่วยไมครอน ขนาดอนุภาคเฉลี่ยดูจากตำแหน่งความถี่สะสม ที่ 50 เปอร์เซ็นต์ ดังแสดงในรูป 12



รูป 12 กราฟแสดงการกระจายขนาดอนุภาค

ภาคผนวก ค

รูปแสดงลักษณะของผลึกแอมโมเนียม ไดยูเรเนต



ศูนย์วิทยทรัพยากร
จุฬาลงกรณ์มหาวิทยาลัย
รูปที่ 13 แสดงลักษณะของผลึกแอมโมเนียม ไดยูเรเนต
ถ่ายด้วยกล้องจุลทรรศน์ กำลังขยาย 400 เท่า

ประวัติผู้เขียน

นางสาว วรรณ ศรีชวนชื่นสกุล ได้รับปริญญาวิทยาศาสตรบัณฑิต สาขาเคมี จากมหาวิทยาลัยเชียงใหม่ เมื่อปีการศึกษา 2523 เข้าทำงานในตำแหน่งเจ้าหน้าที่ควบคุมคุณภาพของบริษัทน้ำตาลขอนแก่น จำกัด และเข้าศึกษาต่อในภาควิชาชีว เคเลียร์เทคโนโลยี คณะวิศวกรรมศาสตร์ จุฬาลงกรณ์มหาวิทยาลัย



ศูนย์วิทยทรัพยากร
จุฬาลงกรณ์มหาวิทยาลัย